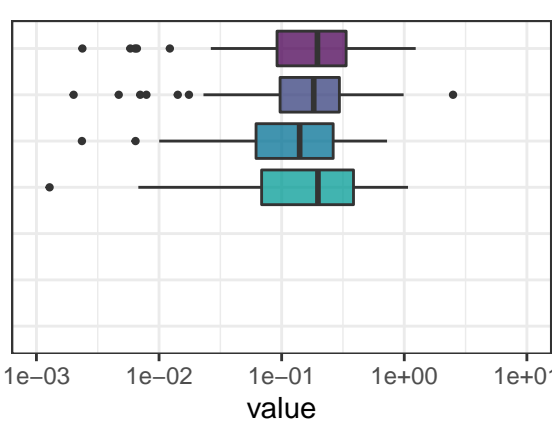
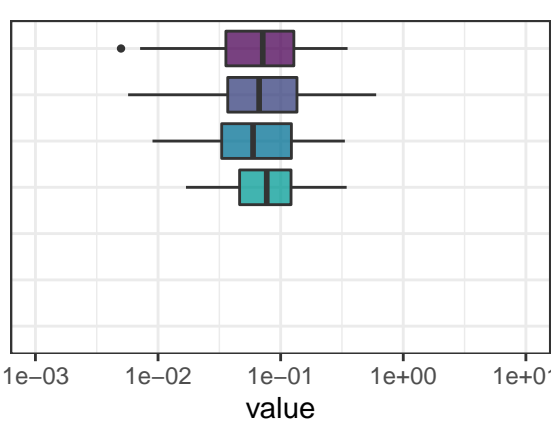
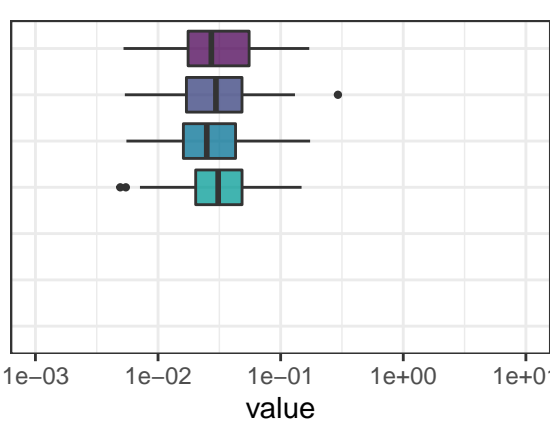
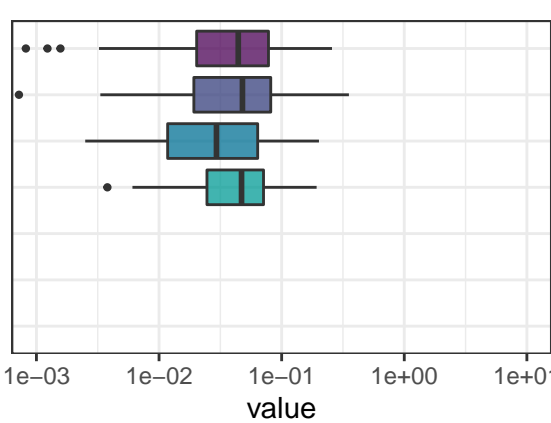
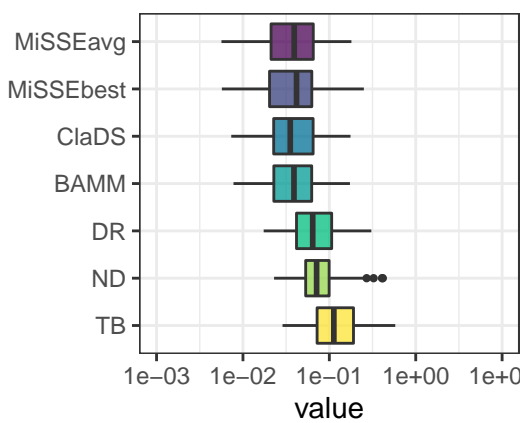
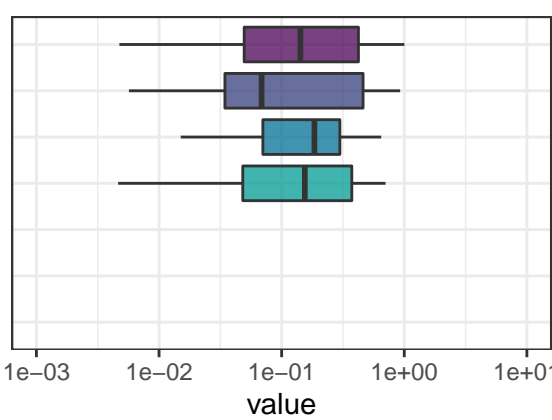
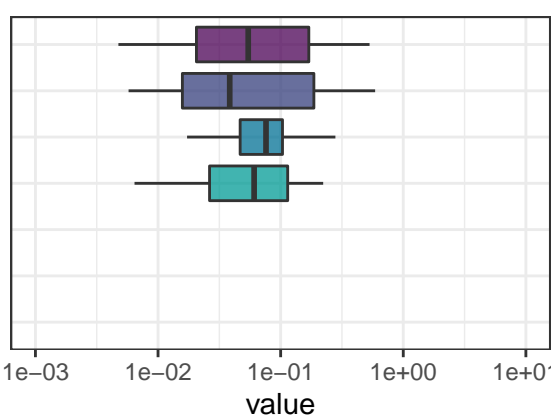
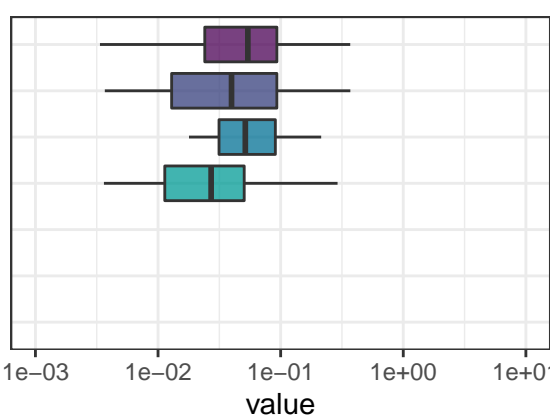
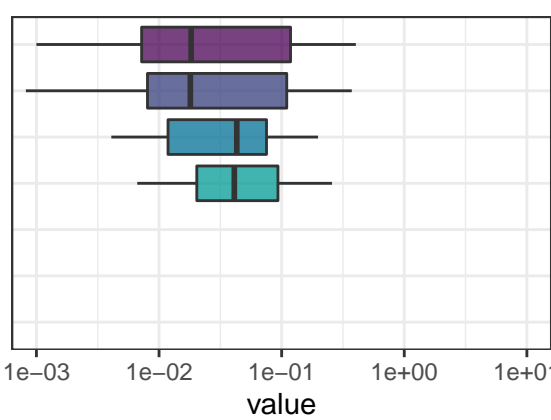
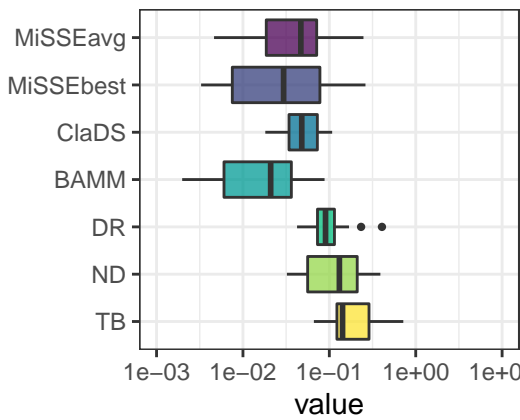


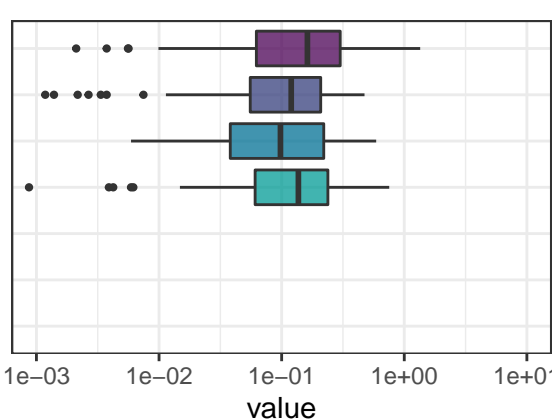
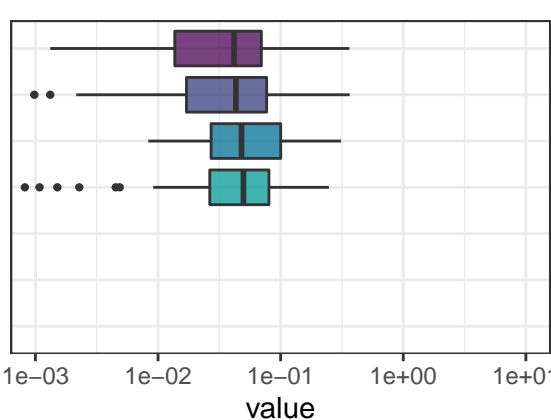
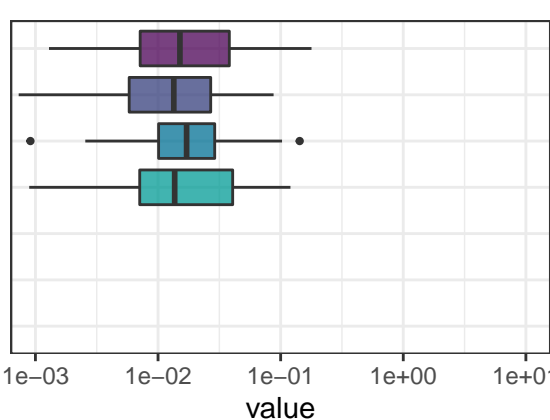
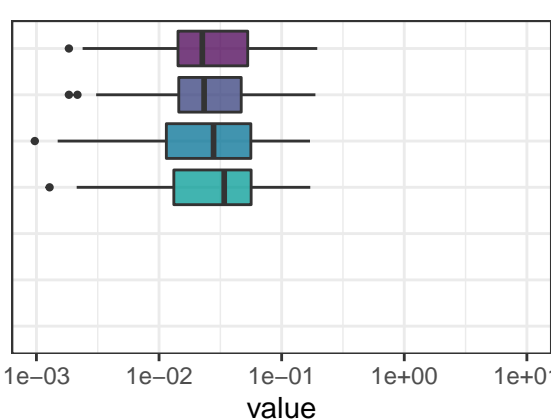
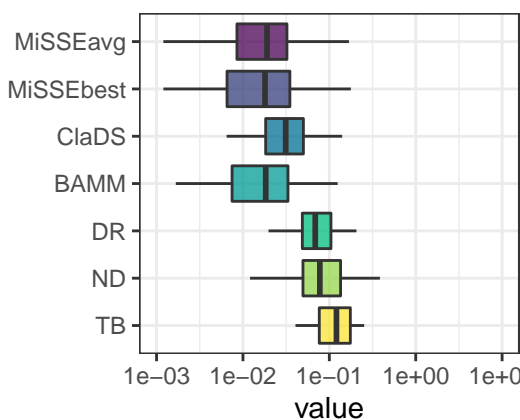
evolvingRates (N=120)



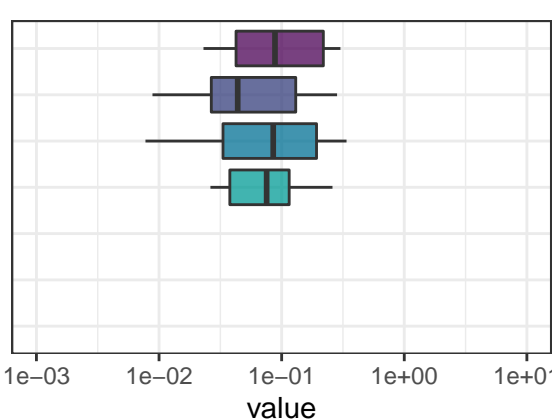
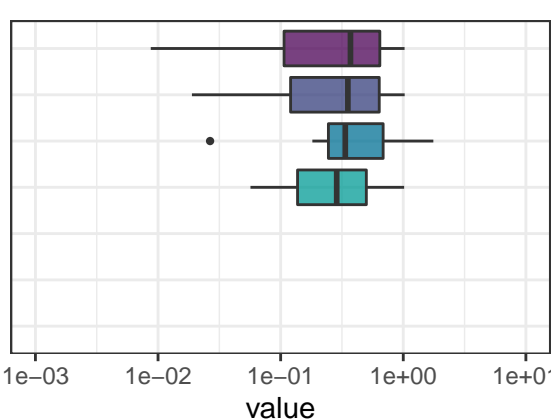
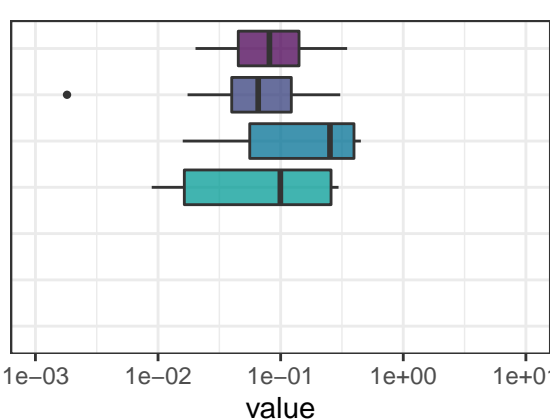
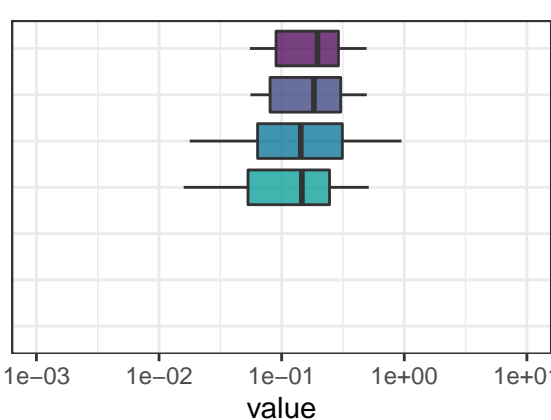
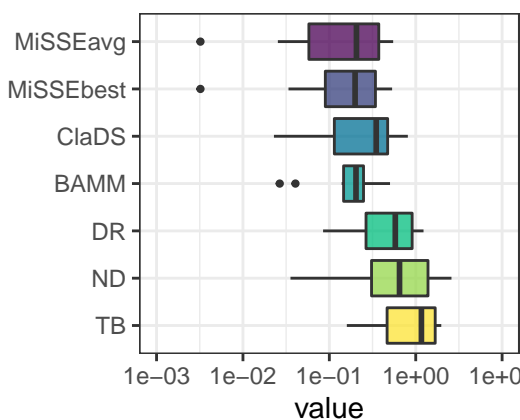
fossilBAMM (N=18)



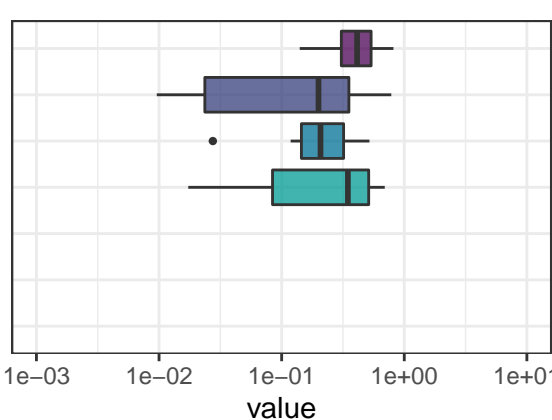
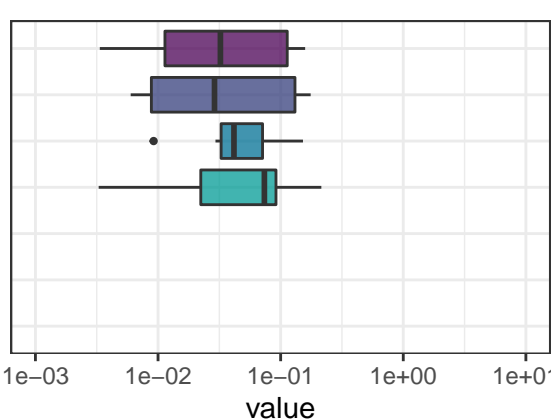
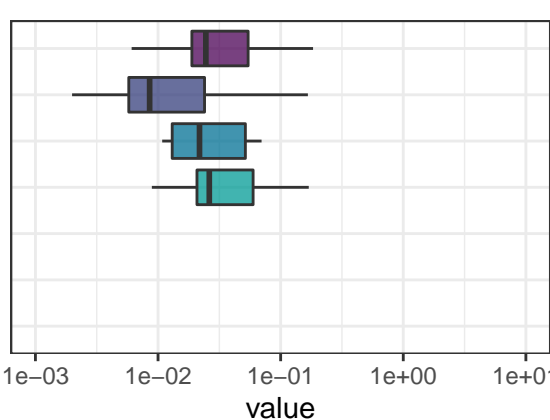
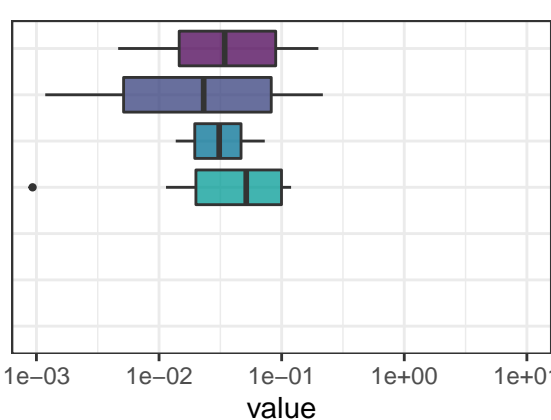
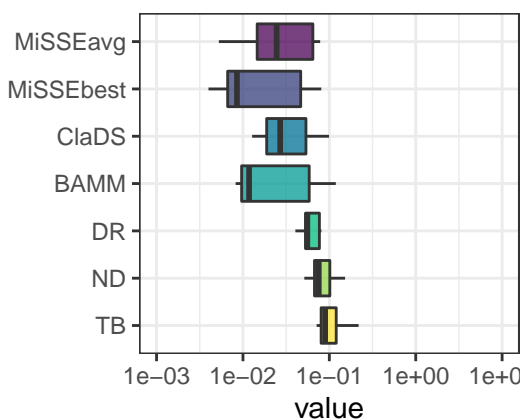
lambdaConstantVariance (N=100)



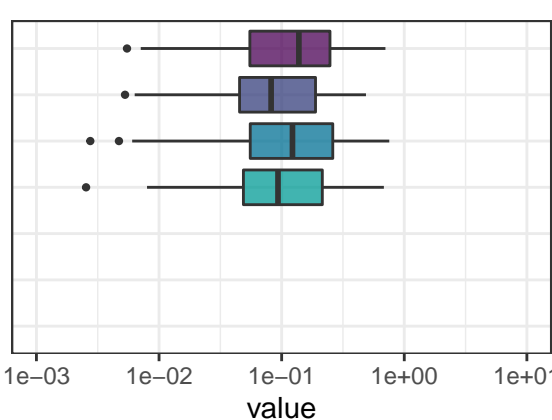
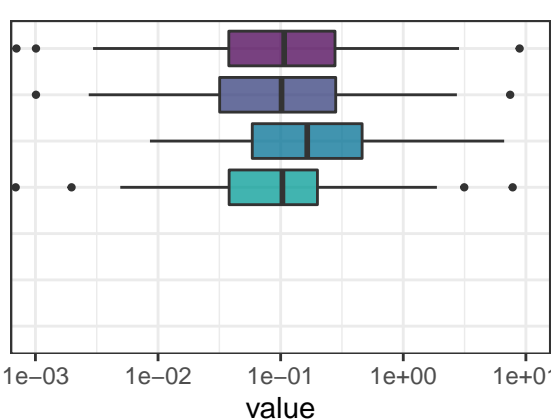
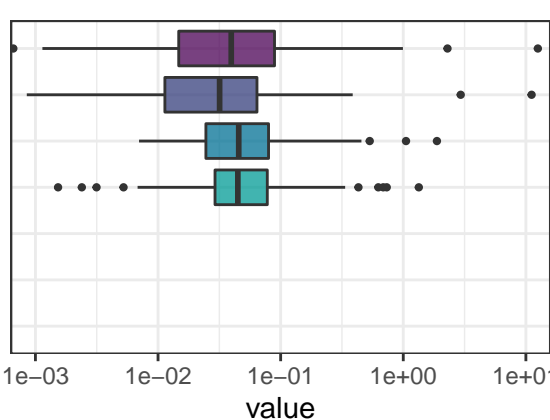
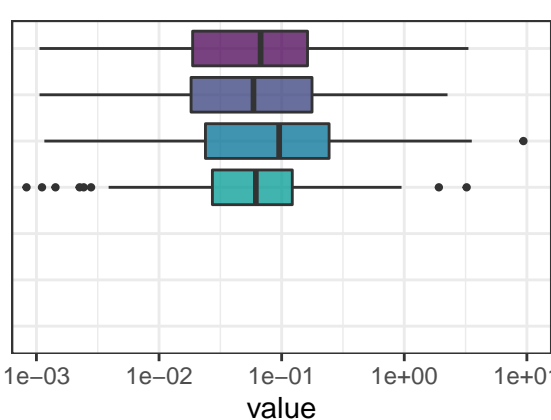
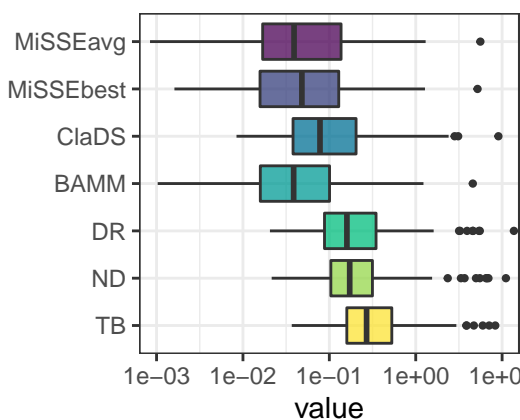
MitchellRabosky2016 (N=10)



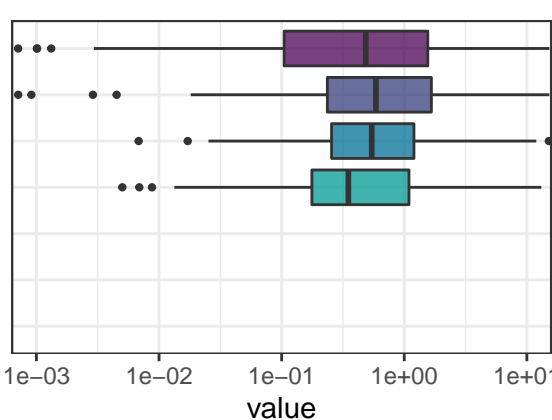
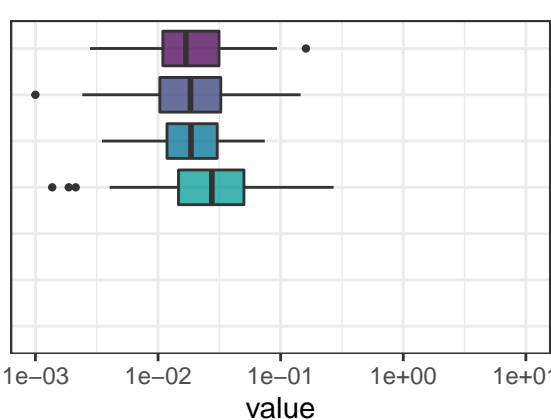
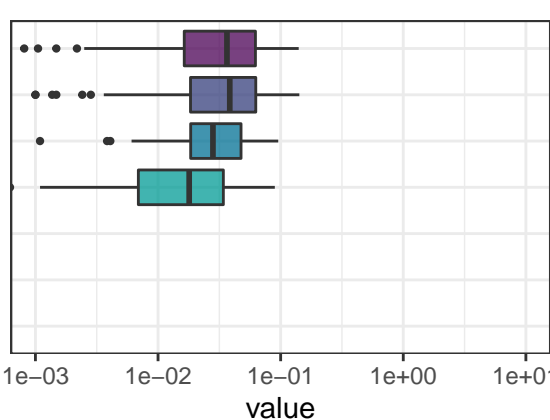
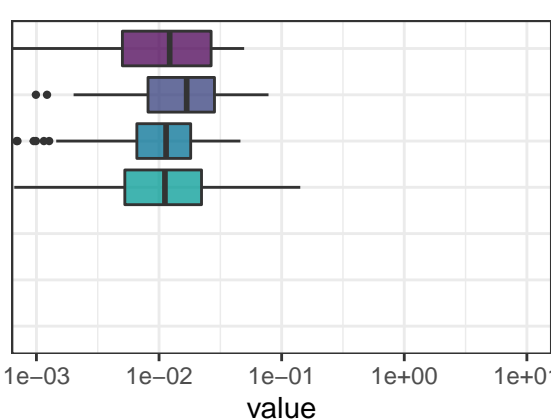
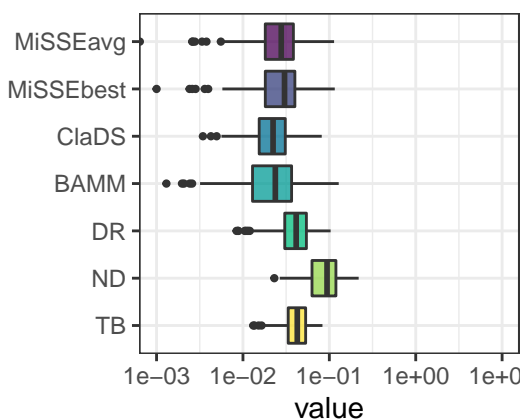
MooreEtAl2016 (N=10)



netDivConstantVariance (N=100)



Rabosky2014 (N=117)



RaboskyEtAl2017 (N=40)

